

Проблеми математичного моделювання  
та теорії диференціальних рівнянь

УДК 532.5 + 523.9

## ПРО СТІЙКІСТЬ І РЕЗОНАНСИ РУХІВ У ТОРОВИХ КІЛЬЦЯХ ПЛАНЕТАРНОГО ВИХОРУ

\*В. І. Перехрест, \*\*М. М. Осипчук, \*\*\*Л. В. Ключинська

\* Дніпропетровський національний університет ім. Олеся Гончара,  
49050, Дніпропетровськ, E-mail: prokhrest@i.ua

\*\* Придніпровська державна академія будівництва та архітектури,  
49050, Дніпропетровськ, E-mail: Nykolay1111@bigmir.net

\*\*\* Севастопольський інститут банківської справи

Установлено стійкість колового руху на центральних колах вихрових кілець за першим наближенням та теорією систем Ляпунова; така стійкість є необхідною умовою можливості формування на цих колах твердих планет із пилу й газів планетарної туманності. Існування резонансних співвідношень між коловим та меридіональним рухами на торах може бути ключем для пояснення причин формування у вихрових кільцах супутників планет.

**Ключові слова.** планетарні системи, стійкість вихору, формування планет.

### 1. Вступ. Теорія планетарного вихору

Планетарним вихором було названо новий точний розв'язок сферично-осесиметричних гідродинамічних рівнянь Ейлера [1], що описує складну вихрову течію з низкою тороїдних вихрових кілець, які обертаються в один бік. Застосування цього розв'язку до проблеми утворення та еволюції зіркових планетарних систем, зокрема Сонячної, показало його ефективність у визначені основних параметрів їх будови і руху, таких як: кутові швидкості та кутові моменти, закон планетних відстаней та ін. [2,3]. Ці дослідження привели до висновку, що у вихрових кільцах повинні формуватися тверді планети шляхом збирання часток пилу й газів на центральних колах цих кілець із подальшою акумуляцією та акрецією. Тому їх постала задача про стійкість руху на колових траєкторіях вихрових кілець, яка є необхідною умовою такої подальшої їх еволюції.

Отже, у праці [1] отримано розв'язок гідродинамічних рівнянь Ейлера для функції течії  $\Psi(r,\theta)$ , неперервна частина якого у сферичних координатах  $(r,\theta,\varphi)$  має форму

$$\Psi = C_2 \left[ \alpha y^2 + \left( \cos y - \frac{\sin y}{y} \right) \right] \sin^2 \theta, \quad (1.1)$$

де  $y = C_0 r$  – безрозмірний сферичний радіус,  $C_0$  – константа у формулі (1.2),  $C_2$  – довільна стала. Тоді поле швидкостей вихрової течії у просторі має зображення [1]:

$$V_r = - \left( r^2 \sin \theta^{-1} \right) \frac{\partial \Psi}{\partial \theta}, \quad V_\theta = \frac{1}{r \sin \theta} \frac{\partial \Psi}{\partial r}, \quad V_\varphi = \frac{C_0 \Psi}{r \sin \theta}, \quad (1.2)$$

а поле ліній течії цього вихору дається першим інтегралом вигляду  $\Psi(r, \theta) = \text{const}$  або

$$\Phi(y) \sin^2 \theta = C, \quad (1.3)$$

де

$$\Phi = \left[ \alpha y^2 + \left( \cos y - \frac{\sin y}{y} \right) \right] \quad (1.4)$$

– допоміжна функція радіальної координати.

Інтеграл (1.3) описує складну систему кільцевих вихорів, кілька з яких ( $n$ ) лежать у замкнтих сферах, а низка зовнішніх кілець ( $m$ ) вільно висять у просторі й обтікаються незамкнтими лініями течії; структури  $(n, m)$  вихорів визначаються параметром  $\alpha$  у формулі (1.4) і були детально досліджені у [2].

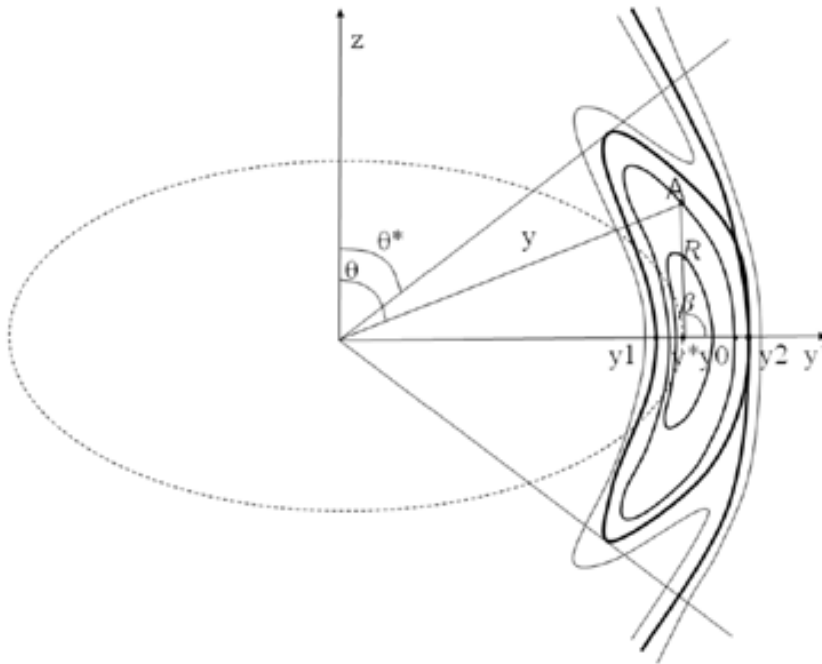


Рис. 1: Геометрія зовнішнього вихрового кільця

Центри торoidalних кілець та точки самоперетину сепаратрис є особливими точками векторного поля швидкостей (1.2), лежать на горизонтальній осі  $\theta = \pi/2$  і мають радіальні координати, що є коренями рівняння

$$\Phi'(y) = 0, y = y_i, i = 1, 2, \dots, 2m + n. \quad (1.5)$$

Кожному із зовнішніх вихрових кілець відповідають два послідовні корені з множини (1.5), вони чергуються і у межах одного кільця позначені як  $y^*$  – (центр) та  $y_2$  – (точка самоперетину) (рис. 1). Там же через  $y_1$  позначено найменший радіус зони кільця, а  $\pi - 2\theta^*$  – кутовий розмір цього кільця.

У таблиці 1, перший стовпчик, подано радіальні координати усіх 24 особливих точок вихору структури (2,11), якою ми моделювали первинний стан Сонячної системи [2,3].

## 2. Рух на торах: стійкість та резонанси

Поле швидкостей (1.2) з урахуванням (1.1) і (1.4) запишемо у формі системи рівнянь руху:

$$\begin{aligned} \frac{dy}{dt} &= -2B \frac{\Phi(y)}{y^2} \cos \theta \equiv X(y, \theta); \\ \frac{d\theta}{dt} &= B \frac{\Phi'(y)}{y^2} \sin \theta \equiv Y(y, \theta); \\ \omega_\varphi &\equiv \frac{d\varphi}{dt} = B \frac{\Phi(y)}{y^2}, \end{aligned} \quad (2.1)$$

де  $B = C_2 C_0^3$  – числовий параметр.

Система (2.1) є нелінійною динамічною системою 3-го порядку, автономною за часом і коловою координатою, та має аналітичний перший інтеграл (1.3). Підсистема перших двох рівнянь (2.1) є замкнutoю й інтегрується окремо, але її другий інтеграл не обчислюється аналітично. Тому для встановлення стійкості руху в околі особливих точок  $y^*$ ,  $y_2$  побудуємо рівняння першого та другого наближень шляхом розвинення правих частин рівнянь (2.1) у ряди Тейлора в околі точок  $(y^*, \theta = \pi/2)$ . Отже, покладемо

$$y = y^* + \xi, \quad \theta = \pi/2 + \eta \quad (2.2)$$

і після обчислення частинних похідних функцій  $X(y, \theta)$ ,  $Y(y, \theta)$  приходимо до лінійної системи рівнянь першого наближення у векторній формі

$$\frac{d\bar{x}}{dt} = A\bar{x}, \quad \bar{x} = \begin{vmatrix} \xi \\ \eta \end{vmatrix}, \quad (2.3)$$

де

$$A = \begin{vmatrix} X'_y(y^*, \theta^*) & X'_\theta(y^*, \theta^*) \\ Y'_y(y^*, \theta^*) & Y'_\theta(y^*, \theta^*) \end{vmatrix} = \begin{vmatrix} 0 & 2B \frac{\Phi(y^*)}{y^{*2}} \\ B \frac{\Phi''(y^*)}{y^{*2}} & 0 \end{vmatrix} \quad (2.4)$$

– матриця системи. Характеристичне рівняння системи (2.3)

$$\det |A - \lambda E| = 0 \quad (2.5)$$

має два дійсні чи два уявні корені залежно від умов:

$$\begin{aligned} (a) \quad \Phi(y^*) \Phi''(y^*) &> 0 & \lambda &= \pm \omega, \\ (b) \quad \Phi(y^*) \Phi''(y^*) &< 0 & \lambda &= \pm i\omega, \end{aligned} \quad (2.6)$$

де

$$\omega = \omega^* \sqrt{\frac{2\Phi''(y^*)}{\Phi(y^*)}}, \quad a \quad \omega^* = B \frac{\Phi(y^*)}{y^{*2}} \quad (2.7)$$

— частота обертання точок центрального кола  $y = y^*$  (2.1).

Умови (2.6) було перевірено для вихору структури (2.11) і результати подано у таблиці 1. З неї видно, що у центрах вихрових кілець (виділених жирним шрифтом) виконується умова (2.6)b, а у точках самоперетину сепаратрис — умова (2.6)a. Можна довести, що така закономірність завжди матиме місце у центральних та сідлових точках будь-яких вихрових структур.

Таблиця 1: Параметри вихору структури (2.11),  $\alpha = -0,00655$

№ кіл.	$y_i$	$\Phi(y)$	$\Phi''(y)$	$\Phi(y) \cdot \Phi''(y)$	k
n = 1	2,79026114	-1,11325	0,776276	0,86418	1,180937
n = 2	6,03419312	0,77150	-0,96762	-0,7465	1,583794
<b>m = 1</b>	<b>9,44279805</b>	-1,58197	0,962446	-1,5226	1,103073
1c	12,32219138	-0,00457	-0,99002	0,0045	20,80949
<b>m = 2</b>	<b>15,8543586</b>	-2,62652	0,959204	-2,5194	0,854635
2c	18,54971972	-1,28250	-0,97876	1,2553	1,235451
<b>m = 3</b>	<b>22,2420960</b>	-4,19787	0,940542	-3,9483	<b>0,669406</b>
3c	24,76167868	-3,06949	-0,95663	2,9363	0,789491
<b>m = 4</b>	<b>28,6239854</b>	-6,29415	0,91216	-5,7413	0,538371
4c	30,96568847	-5,36623	-0,92559	4,9669	0,587346
<b>m = 5</b>	<b>35,0055354</b>	-8,91522	0,874383	-7,7953	0,442894
5c	37,16351818	-8,17268	-0,88553	7,2372	0,465516
<b>m = 6</b>	<b>41,3897833</b>	-12,06129	0,826315	-9,9664	0,370161
6c	43,35502601	-11,48859	-0,83539	9,5975	0,381353
<b>m = 7</b>	<b>47,7794284</b>	-15,73278	0,766178	-12,0541	0,312088
7c	49,53890086	-15,31351	-0,77334	11,8425	0,317806
<b>m = 8</b>	<b>54,1779004</b>	-19,93033	0,690896	-13,7698	0,263308
8c	55,71246457	-19,64680	-0,69627	13,6794	0,266234
<b>m = 9</b>	<b>60,5908648</b>	-24,65491	0,594771	-14,6640	0,219653
9c	61,87049552	-24,48747	-0,59845	14,6546	0,221085
<b>m = 10</b>	<b>67,0306079</b>	-29,90817	0,465039	-13,9085	0,176346
10c	68,00098738	-29,83385	-0,46713	13,9363	0,176962
<b>m = 11</b>	<b>73,5428141</b>	-35,69371	0,254537	-9,0854	0,119425
11c	74,05844132	-35,68237	-0,25512	9,1033	0,119581

Отже, за теоремами Ляпунова про стійкість точок спокою за першим наближенням висновуємо, що точки самоперетину сепаратрис  $y_2$  є нестійкими сідловими точками незалежно від членів вищих порядків у рівняннях (2.1).

Навпаки, центри кілець  $y^*$  за першим наближенням є умовно стійкими точками типу «центр», але це є так званий «критичний випадок» теорії пер-

шого наближення [5], у якому члени вищих порядків у рівняннях (2.1) можуть суттєво впливати на характер стійкості руху в околі цих точок.

Тому були пораховані другі диференціали у розвиненні правих частин системи (2.1):

$$\begin{aligned} d^2X &= \left( \frac{\partial^2 X}{\partial y^2} \right)_* \xi^2 + 2 \left( \frac{\partial^2 X}{\partial y \partial \theta} \right)_* \xi \eta + \left( \frac{\partial^2 X}{\partial \theta^2} \right)_* \eta^2; \\ d^2Y &= \left( \frac{\partial^2 Y}{\partial y^2} \right)_* \xi^2 + 2 \left( \frac{\partial^2 Y}{\partial y \partial \theta} \right)_* \xi \eta + \left( \frac{\partial^2 Y}{\partial \theta^2} \right)_* \eta^2. \end{aligned} \quad (2.8)$$

При обчисленні у (2.8) похідних за радіусом  $y$  враховувалась умова (1.5) та використовувалося диференціальне рівняння для функції  $\Phi(y)$

$$\Phi'' = \left( \frac{2}{y^2} - 1 \right) \Phi + \alpha y^2, \quad (2.9)$$

завдяки чому всі похідні вищих порядків вдалося виразити через  $\Phi(y^*)$  та  $\Phi''(y^*)$ .

Для зручності порівняння частот орбітального та меридіонального рухів уведена нова незалежна змінна:

$$\tau = \omega^* t \quad (2.10)$$

– кут повороту радіуса центрального кола.

Отримані таким чином рівняння другого наближення мають вигляд:

$$\begin{cases} \frac{\partial \xi}{\partial \tau} = b_1 \eta + a_1 \xi \eta; \\ \frac{\partial \eta}{\partial \tau} = b_2 \xi + a_2 \xi^2, \end{cases} \quad (2.11)$$

де

$$b_1 = 2, \quad b_2 = \frac{\Phi''(y^*)}{\Phi(y^*)}, \quad a_1 = -\frac{2}{y^*}, \quad a_2 = -\frac{\alpha y^*}{\Phi(y^*)} - \frac{6}{y^{*3}} + \frac{2}{y^*}. \quad (2.12)$$

Далі будемо розглядати систему (2.9) за умови (2.6)b, тобто у околі центрів  $y^*$  вихрових кілець, для яких стійкість за першим наближенням не було встановлено. Очевидно, що з умови (2.6)b випливає  $b_2 < 0$ ; при цьому  $b_1 > 0$ . За цих умов та за (2.6)b система рівнянь руху (2.9) є системою Ляпунова [4], і за теоремами Ляпунова для таких систем [5] тривіальний розв'язок є стійким, а рухи в околі точки  $(0,0)$  є періодичними з періодами, що залежать від початкового відхилення.

Періоди малих коливань частинок у меридіональній площині вихору відповідають частотам  $\omega$  з (2.7). Частотний коефіцієнт

$$k = \frac{\omega}{\omega_*} = \sqrt{2 \frac{\Phi''(y^*)}{\Phi(y^*)}} \quad (2.13)$$

виражає відношення частот коливань частинок у меридіональній площині до частоти орбітального руху по центральному колу кільця, – його значення наведено у таблиці 1 для усіх вихрових кілець структури (2.11).

Рівняння другого наближення (2.11) допускають інтегрування, і було отримано їх перший інтеграл в аналітичній формі. Він має вигляд:

$$-2\eta^2 + b_2\xi^2 = K_2, \quad (2.14)$$

де  $K_2$  – довільна стала. Очевидно, що за умови (2.6)a  $b_2 > 0$  і сімейство (2.14) є сімейством гіпербол, що оточують сідлові точки  $y_2$  (рис. 2b). Такі точки завжди є нестійкими.

При виконанні умови (2.6)b  $b_2 < 0$ , і сімейство (2.14) є сімейством замкнутих еліптичних траєкторій (рис. 2a), рухи на яких є періодичними. Частоти малих коливань частинок вихору в околі центрів  $y^*$  даються формулою (2.7), а у змінній-кут  $\tau$  – формулою (2.13).

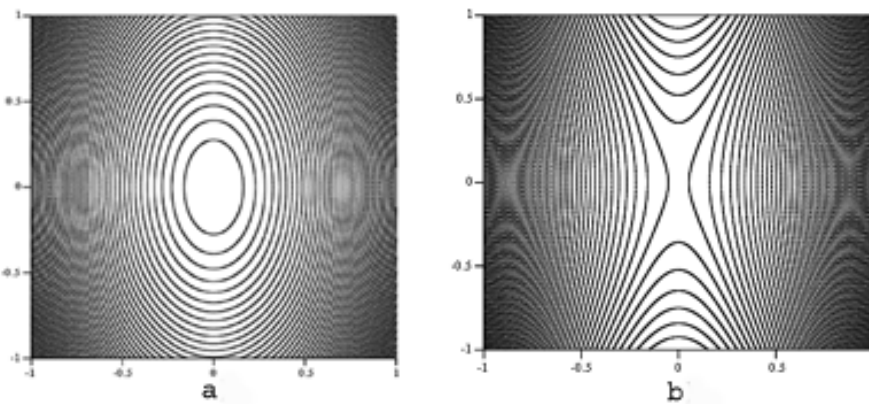


Рис. 2: а – траєкторії руху в околі стійких центрів кілець; б – траєкторії руху в околі нестійких сідлових точок

Для того, щоб точніше дослідити співвідношення між глобальними орбітальним та меридіональним рухами у кільцях, система (2.1) інтегрувалась чисельно методом Рунге – Кутта – Фельберга для 3-го кільця структури (2.11) на проміжку  $0 \leq \tau \leq 6\pi$  (3 оберти по центральному колу). При цьому проміжок  $y^* \leq y \leq y_2$  розбивався на 20 рівних частин, і точки розбиття  $(y_0, \pi/2)$  вибиралися як початкові точки задач Коші для системи (2.1) (рис. 3).

Результати чисельного інтегрування у глобальній області вихрового кільця добре корелюють із даними аналізу рухів в околі центрів кілець. У цілому, коливання точок у меридіональній площині «відстають» від орбітального обертання: так, при трьох обертах центрального кола  $n_\tau = 3$  найбільше число обертів  $n_\beta$  у малому околі центрів відповідає відношенню  $k_0 = n_\beta / n_\tau = 0,669406$ , звідки  $n_{\beta\theta} = 2,0082$  (рис. 3). Зауважимо, що відношення частот дорівнює відношенню числа обертів, тобто  $k = \omega/\omega^* = n_\beta/n_\tau$ .

Далі, з числового аналізу бачимо, що число обертів навколо центра на торах при їх віддаленні від центра зменшується від указаного вище значення 2,0082 до значення, трохи меншого за 1, тобто  $n_{\beta 2} \sim 1 - \epsilon$ , відповідно  $k_2 =$

$= 1/3 - \epsilon$ . Оскільки відношення  $k$  з (2.13) є неперервною функцією, а розв'язки рівнянь (2.1) також є неперервними функціями як змінної  $\tau$ , так і початкових значень  $y_0$  в області  $y > 0$ , то функція-відношення  $k$  є неперервною функцією  $y_0$  і набуває усіх значень у межах

$$(1 - \epsilon)/3 \leq k \leq 0,669406. \quad (2.15)$$

При цьому всі раціональні числа з проміжку (2.15) визначають умови резонансів меридіонального обертання по торах з орбітальним обертанням центрів кіл. Як найпростіші з таких відношень вкажемо на множину раціональних чисел, укладену в інтервал (2.15):

$$k^* = \left\{ \frac{2}{3}, \frac{3}{5}, \frac{5}{9}, \frac{7}{12}, \frac{1}{2}, \frac{4}{9}, \frac{5}{12}, \frac{2}{5}, \frac{1}{3} \right\}. \quad (2.16)$$

Справді, у праці [7] було виділено резонанс порядку  $2/3$ , для якого знайдено і «резонансний» радіус  $y_{res} = 22,54925$ , що лежить в околі центра  $y^* = 22,2421$  третього вихрового кільця вихору (2.11), (рис. 3).

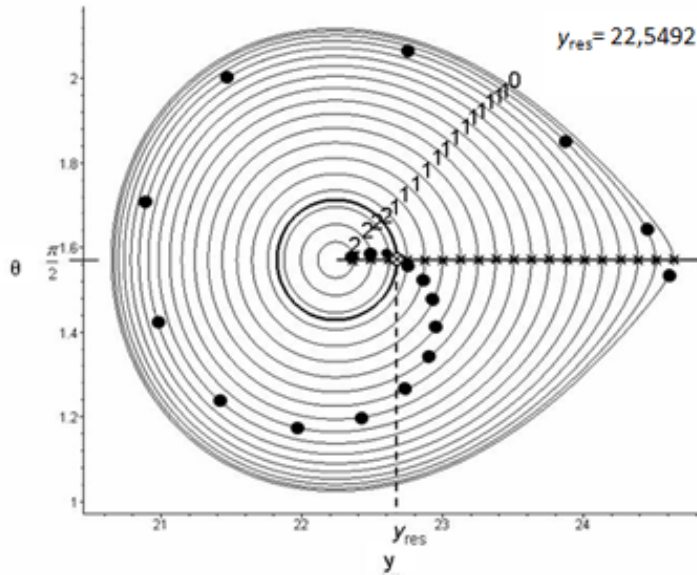


Рис. 3: Число повних обертів на торах 3-го кільця за час  $\tau = 6\pi$  (3 оберти центра)

Для повної резонансності руху на торах планетарного вихору необхідно, щоб і коловий рух частинок вихору на резонансному торі з (2.16) після цілого числа обертів  $n\pi$  (зnamenники у (2.16)) здійснив ціле число обертів  $n_\varphi$  і привів точку в початкове положення. Звернемось до третього рівняння руху (2.1),

перетвореного до змінної  $\tau$ :

$$\frac{d\varphi}{d\tau} = \frac{\omega_\varphi}{\omega^*} = \frac{\Phi(y)}{\Phi(y^*)} \left( \frac{y^*}{y} \right)^2. \quad (2.17)$$

Оскільки функція (2.17) є неперервною на проміжку  $y_1 \leq y \leq y_2$ , а з рівняння (1.3) для обмежного тора кільця випливає, що  $\Phi(y_1) = \Phi(y_2)$ , то величина  $k_\varphi(y) = \omega_\varphi(y)/\omega^* = n_\varphi/n_\tau$  на проміжних торах змінюється у межах

$$\left( \frac{y^*}{y_2} \right)^2 \leq k_\varphi(y) \leq \left( \frac{y^*}{y_1} \right)^2, \quad (2.18)$$

що для третього кільця дає:

$$0,8055453 \leq k_\varphi(y) \leq 1,599936, \quad (2.19)$$

причому  $k_\varphi(y^*) = 1$ . Відповідно, на внутрішніх торах кільця, що проходять через точки  $y_0$  та  $y_{01}$ , для яких  $\Phi(y_0) = \Phi(y_{01})$ , проміжок значень величини  $k_\varphi(y)$  звужується до інтервалу  $(y^*/y_0)^2 \leq k_\varphi(y) \leq (y^*/y_{01})^2$ , який знову буде околом значення  $k_\varphi(y^*) = 1$ . Тому можна припустити, що при інтегруванні рівняння (2.17) за теоремою Лагранжа про середнє значення матимемо

$$(k_\varphi)_{cep} = \frac{1}{2\pi} B^* \int_0^{2\pi} \frac{\Phi(y)}{y^2} d\tau \approx 1, \quad B^* = \frac{y^{*2}}{\Phi(y^*)}. \quad (2.20)$$

За умови точної рівності в інтегралі (2.20) будь-який з резонансних режимів (2.16) буде повністю резонансним, тобто рухома точка, що виходить із початкового положення  $y_0$  на горизонтальній осі (рис. 1), повернеться у це ж положення після цілого числа обертів як по тору, так і по колу.

Таблиця 2: Чисельне інтегрування системи (2.1)

$\tau$	$y_0$	$\theta_0$	$\varphi_0$	$y(\tau)$	$\theta(\tau) - \theta_0$	$\varphi(\tau)$	$k_{cep}$
$2\pi$	<b>22,515638</b>	$\pi/2$	0	$y_0 - 0,40095$	0,07924	$2\pi + 4 \cdot 10^{-12}$	1
	22,871991	$\pi/2$	0	$y_0 - 0,96037$	0,16806	$2\pi - 0,09345$	0,9851
	23,501887	$\pi/2$	0	$y_0 - 2,20778$	0,18798	$2\pi - 0,49647$	0,9209
	24,131783	$\pi/2$	0	$y_0 - 3,23024$	-0,19532	$2\pi - 1,09763$	0,8253
	24,761678	$\pi/2$	0	$y_0 + 2 \cdot 10^{-8}$	$10^{-8}$	$2\pi - 2,57631$	0,5899
$4\pi$	<b>22,515638</b>	$\pi/2$	0	$y_0 - 0,38915$	-0,08128	$4\pi - 4 \cdot 10^{-11}$	1
	22,871991	$\pi/2$	0	$y_0 - 0,68941$	-0,20082	$4\pi - 0,37620$	0,9700
	23,501887	$\pi/2$	0	$y_0 - 0,26935$	-0,22057	$4\pi - 1,25052$	0,9004
	24,131783	$\pi/2$	0	$y_0 - 0,10527$	0,13066	$4\pi - 1,90999$	0,8480
	24,761678	$\pi/2$	0	$y_0 - 3,8 \cdot 10^{-7}$	$-1,5 \cdot 10^{-7}$	$4\pi - 5,15262$	0,5899
$6\pi$	<b>22,515638</b>	$\pi/2$	0	$y_0 - 2,7 \cdot 10^{-4}$	0,00012	$6\pi - 3 \cdot 10^{-10}$	1
	22,871991	$\pi/2$	0	$y_0 - 0,05173$	0,07856	$6\pi - 0,39688$	0,9789
	23,501887	$\pi/2$	0	$y_0 - 1,27794$	0,37472	$6\pi - 1,42729$	0,9242
	24,131783	$\pi/2$	0	$y_0 - 2,40125$	-0,46883	$6\pi - 3,38603$	0,8203
	24,761678	$\pi/2$	0	$y_0 - 6,8 \cdot 10^{-6}$	$-2,7 \cdot 10^{-6}$	$6\pi - 7,72893$	0,5899

Інтеграл (2.20) було обчислено при чисельному інтегруванні системи (2.1) на проміжку  $\tau \in [0, 2\pi]; [0, 4\pi]; [0, 6\pi]$ , для кількох положень початкової точки  $y_0$ , у тому числі й для резонансного радіуса порядку 2 : 3 (табл. 2). Із таблиці видно, що припущення (2.20) для усіх внутрішніх тороїдів не справджується, але існують окремі резонансні тори або близькі до резонансних. Зокрема, тор із меридіональним резонансом порядку 2 : 3 є і повністю резонансним, причому коловий резонанс має порядок 1 : 1 і виконується на кожному оберті центра кільця.

Але якщо резонансне співвідношення між орбітальним рухом центра і меридіональним рухом на торі є точним для певного «резонансного» радіуса, то умова повного резонансу цього тороїда виконується наближено, але з високою точністю.

### 3. Висновки

Таким чином, доведено, що рух по центральному колу кожного вихрового кільця планетарного вихору є стійким, а сідлові точки самоперетину сепаратрис є нестійкими.

Це дозволило дослідити існування резонансних траєкторій як в околах центральних кіл, так і у всьому об'ємі вихрового кільця; існування таких траєкторій у всій області вихрових кілець досліджувалося у попередній доповіді [6] та статті [7] авторів.

#### Бібліографічні посилання

1. *Перехрест В. І.* Новий розв'язок гідродинамічних рівнянь Ейлера для сферичних вихрових течій/ В. І. Перехрест, Р. В. Іванов// Вісник ДНУ. – 2002. – Механіка. Вип. 6, т. 1. – С. 60 – 64.
2. *Перехрест В. І.* Про структури планетарних вихорів і закономірності їх обертання/ В. І. Перехрест, М. М. Осипчук// Вісник ДНУ. – 2010. – Механіка. Вип. 14, т. 18, № 5. – С. 110 – 118.
3. *Перехрест В. І.* Закон планетних відстаней у вихровій теорії планетарних систем// Вісник ДНУ. – 2011. – Механіка. Вип 15, т. 1. – С. 21 – 33.
4. *Мусеев Н. Н.* Асимптотические методы нелинейной механики. – М. : Наука, 1969. – 380 с.
5. *Малкін І. Г.* Теория устойчивости движения. – М. : Наука, 1966. – 530 с.
6. *Перехрест В. І.* Резонансні режими руху на торах планетарного вихору/ В. І. Перехрест, М. М. Осипчук// Тез. докл. 10-й Кримської Меджунар. мат. школи MFL-2010, Алушта – Сімферополь, 2010. – 112 с.
7. *Осипчук М. М.* Резонанси в динамічній системі на торах планетарного вихору/ М. М. Осипчук, В. І. Перехрест// Вісник ДНУ. – 2010. – Моделювання. Вип. 2, № 8. – С. 97 – 105.